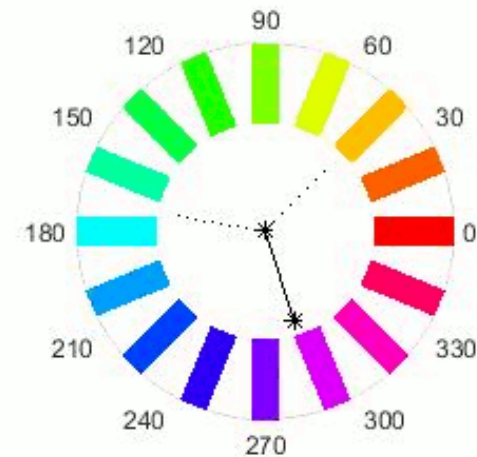
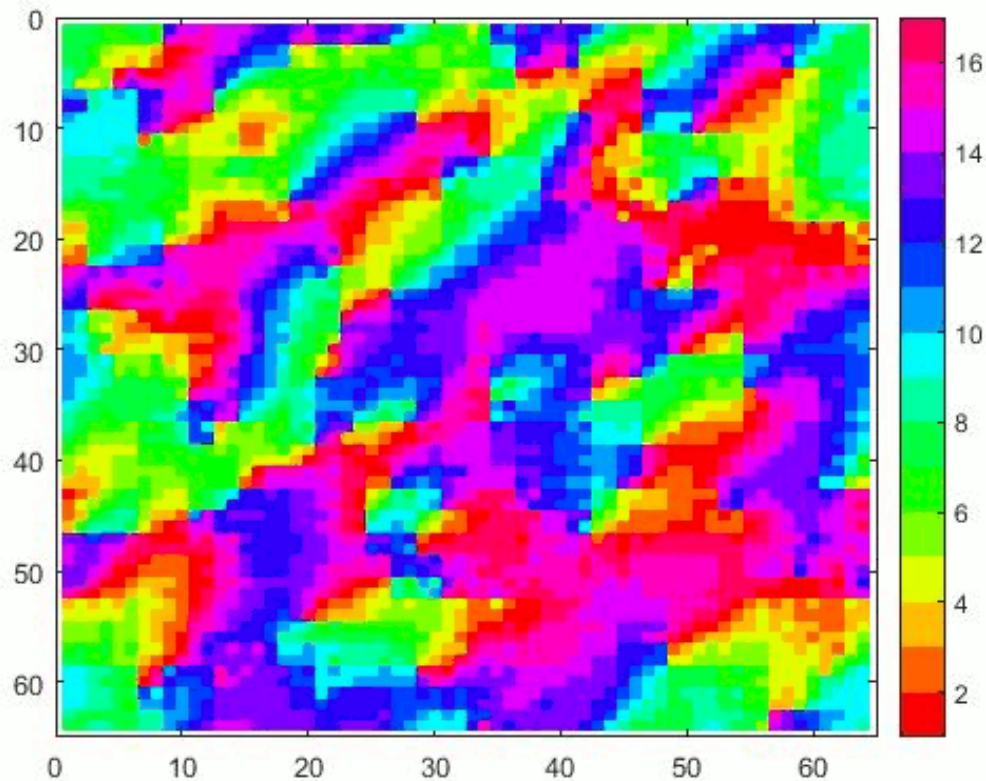


# Modello $Z_q$

Stefano Boggio Tomasaz | Francesco Dilda | Lorenzo Volpi





# Il modello

Il *modello*  $Z_q$ , conosciuto anche come *q - clock model*, è basato sui seguenti elementi:

- ◊ Un reticolo  $2N \times 2N$  di **spin** (o **momenti**) **magnetici**  $\mu$
- ◊ La possibilità di questi spin di assumere **q stati possibili**
- ◊ L'interazione tra spin primi vicini
- ◊ L'interazione tra spin e campo magnetico esterno  $B$

Del sistema considerato è possibile definirne l'Hamiltoniana:

$$H = -J \sum_{i,j} \left( \cos\left(\theta_{i,j} - \theta_{i+1,j}\right) + \cos\left(\theta_{i,j} - \theta_{i,j+1}\right) \right) - B \sum_{i,j} \cos(\theta_i)$$

# Le catene di Markov

- ◆ L'algoritmo con cui abbiamo implementato il nostro modello rientra nei processi Markoviani, che sono processi stocastici di evoluzione di un sistema in cui uno stato al tempo  $t+1$  dipende solo dallo stato all'istante precedente  $t$ . Per questi processi è possibile definire una matrice le cui componenti  $M_{ij}$  sono definite dalla probabilità  $p(i \rightarrow j)$  che il sistema passi dallo stato  $i$  al tempo  $t$  allo stato  $j$  al tempo  $t+1$ . Questa matrice presenta alcune importanti caratteristiche
- ◆ 
$$\sum_i M_{ij} = 1 \quad \forall j \quad \text{e} \quad M_{ij} \geq 0 \quad \forall i, j$$
- ◆ Da queste due è possibile dedurre che la trasposta di una generica matrice di questo tipo ammette il vettore con tutte componenti uguali come autovettore ad autovalore 1 e di conseguenza per le proprietà del determinante si ricava che è autovalore anche di  $M$  stessa. L'autovettore corrispondente all'autovalore 1 è l'unico candidato ad essere la distribuzione di equilibrio del processo di Markov in questione.



# Metropolis

Le simulazioni sul *modello*  $Z_q$  sono state fatte attraverso *metodo Montecarlo*, implementato con *algoritmo Metropolis*.

Nello specifico l'algoritmo compie, ad ogni iterazione, i seguenti passi fondamentali:

- ◊ Determinato il reticolo di Spin si calcola l'**energia attuale**  $E_0$
- ◊ **Mossa di Metropolis** in cui vengono ruotati casualmente gli spin
- ◊ Calcolo dell'**energia** dopo la mossa di Metropolis  $E_1$
- ◊ **Accettazione** o **rifiuto** della variazione di energia



# Bilancio dettagliato

La correttezza dell'algoritmo di Metropolis per la simulazione del nostro modello è garantita dal fatto che soddisfa la condizione di «bilancio dettagliato» per la distribuzione di Gibbs, condizione necessaria affinché questa sia la distribuzione di equilibrio per  $t$  che tende a infinito. Tale condizione è la seguente

$$\diamond \pi_i p(i \rightarrow j) = \pi_j p(j \rightarrow i) \quad \forall i, j \text{ stati del sistema}$$

Dove  $\pi_i$  è l' $i$ -esimo valore della distribuzione di probabilità associata allo stato  $i$ -esimo mentre  $p(i \rightarrow j)$  rappresenta la probabilità di passare dallo stato  $i$ -esimo al  $j$ -esimo.

Perciò nel caso della distribuzione di Gibbs e dell'algoritmo di Metropolis avremo  $\pi_i = e^{-\beta H_i}$  e  $p(i \rightarrow j) = \frac{1}{2} \min\{e^{-\beta \Delta H}, 1\}$  nel caso in cui  $i$  e  $j$  siano due stati primi vicini, mentre sarà banalmente 0 negli altri casi poiché tali mosse non sono mai realizzate da questo algoritmo.

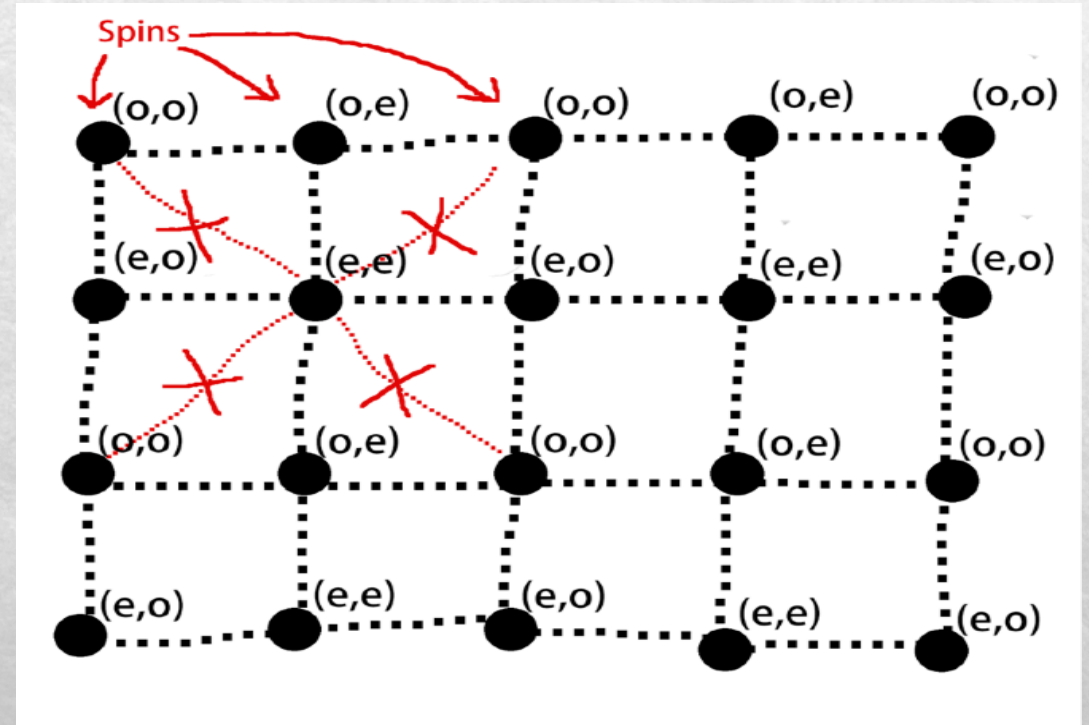
# Bilancio dettagliato

- ◇ Descrivendo perciò il passaggio di uno spin da uno stato  $i$  a uno stato  $j$ , notiamo che la condizione è soddisfatta certamente per  $i$  e  $j$  non primi vicini; nel caso in cui sia un passaggio proponibile dall'algoritmo allora
- ◇  $e^{-\beta H_i} \min\{e^{-\beta(H_j - H_i)}, 1\} = e^{-\beta H_j} \min\{e^{-\beta(H_i - H_j)}, 1\}$
- ◇ che considerando il caso  $H_j > H_i$  diventa
- ◇  $e^{-\beta H_i} e^{-\beta(H_j - H_i)} = e^{-\beta H_j}$
- ◇ e quindi
- ◇  $e^{-\beta H_j} = e^{-\beta H_j}$



# Bilancio dettagliato

- ♦ La dimostrazione che abbiamo dato della validità del bilancio dettagliato è legata al fatto che nel nostro algoritmo abbiamo suddiviso il reticolo in quattro sottoreticoli e ad ogni sweep veniva effettuato un procedimento di proposta-accettazione separatamente. Per cui nel calcolo abbiamo potuto considerare disaccoppiato ogni spin e valutarne singolarmente la validità dell'uguaglianza precedente





# Transizioni di fase

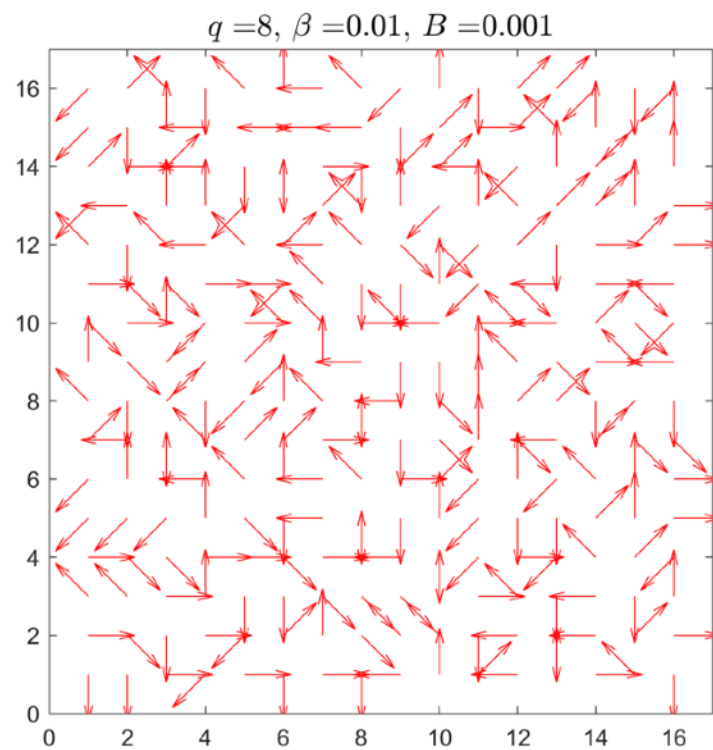
Il modello è caratterizzato da transizioni di fase a dei particolari valori di  $\beta$ , che denominiamo  $\beta$  - critici ( $\beta_c$ ).

I valori di  $\beta_c$  dipendono dal valore di  $q$ , non solo nel loro valore, ma anche nel numero. Per  $q$  sufficientemente elevati si osserveranno 2 transizioni di fase al variare di  $\beta$  :

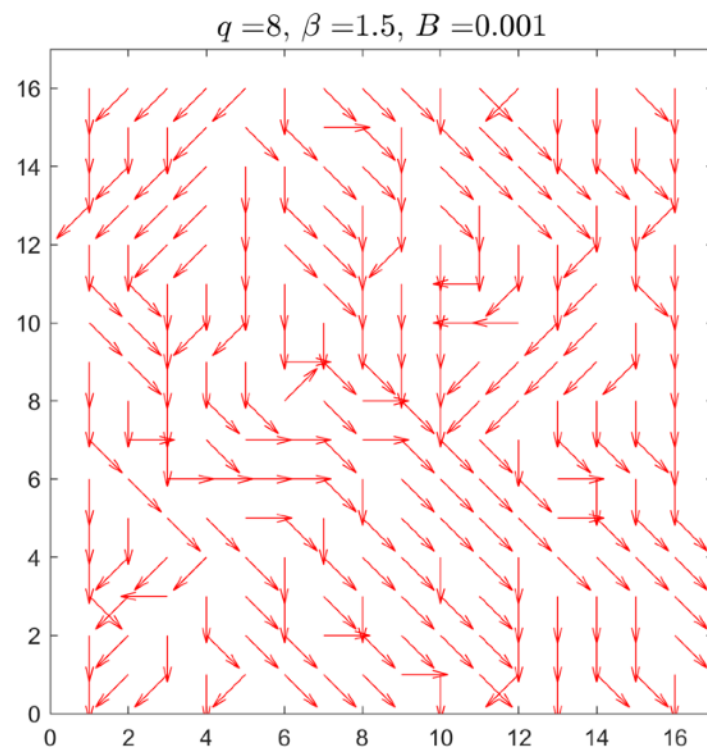
- ◊ La prima fase è chiamata **fase disordinata (o paramagnetica)**
- ◊ La seconda fase è una **fase intermedia (o BKT)**
- ◊ La terza è invece chiamata **fase ferromagnetica (FM)**

Per  $q$  sufficientemente bassi si ha transizione da fase Paramagnetica a FM

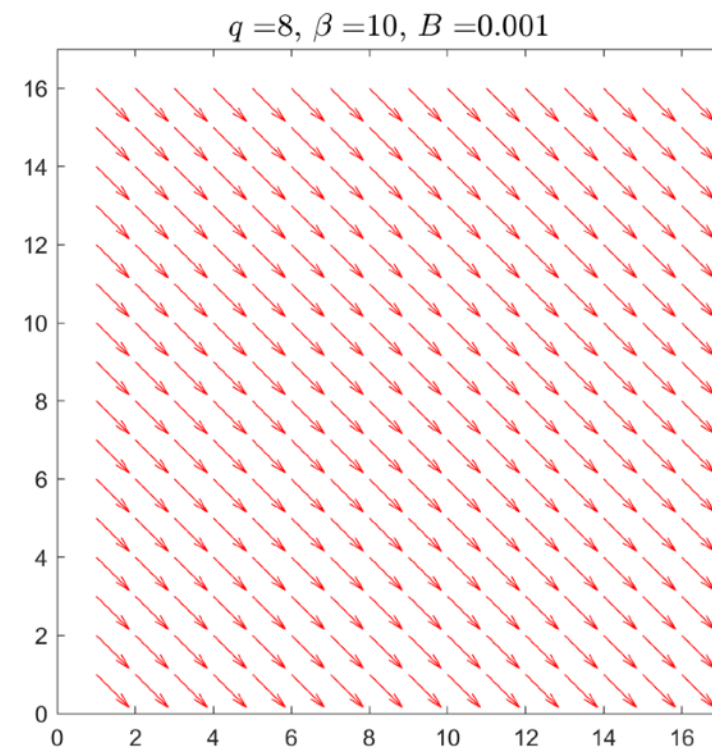




*Fase paramagnetica*



*Fase intermedia*



*Fase ferromagnetica*

# Studio delle Osservabili

Forti delle considerazioni fatte, sono state studiate le seguenti osservabili:

- ◆ Autocorrelazione
- ◆ Energia media
- ◆ Calore specifico
- ◆ Magnetizzazione media
- ◆ Suscettività magnetica
- ◆ Entropia



# Autocorrelazione

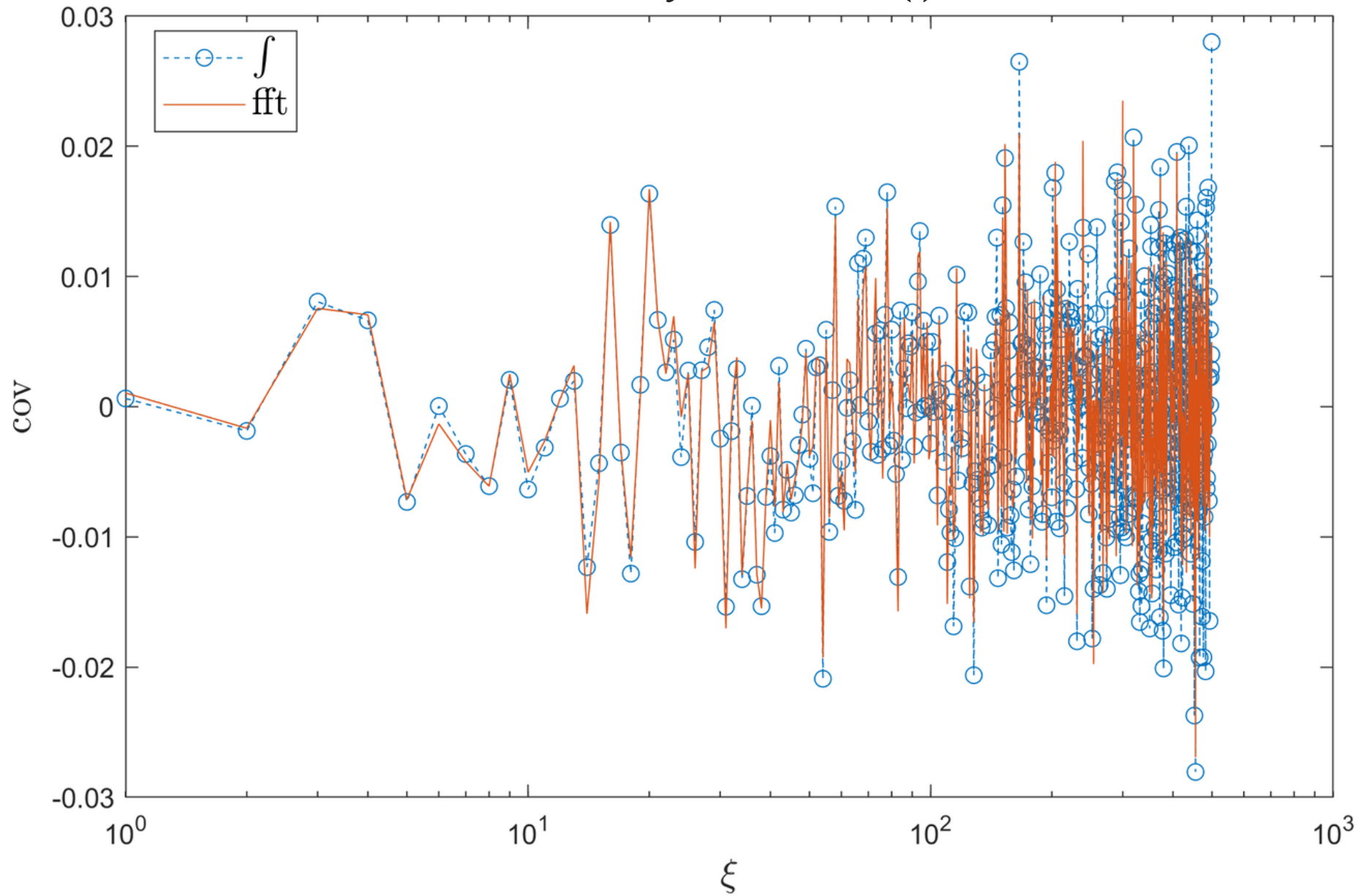
L' autocorrelazione è un indice che permette di stabilire quanto i dati presi in considerazione sono **dipendenti** tra loro.

Lo studio della correlazione tra i vari dati è stato fatto al fine di trovare un valore di  **$\tau$**  (chiamato anche **skip**) tale per cui la dipendenza tra dati si azzera.

Si dimostra che la covarianza tra il dato di un'osservabile  $f_t$  al tempo  $t$  e quello al tempo  $t + \tau$  è:

$$\text{cov}(f_t, f_{t+\tau}) = \frac{\mathcal{F}^{-1} \left| \mathcal{F} \{ f_t \} \right|^2}{T} - \langle f_t \rangle^2$$

*Calcolato sulla funzione rand( )*





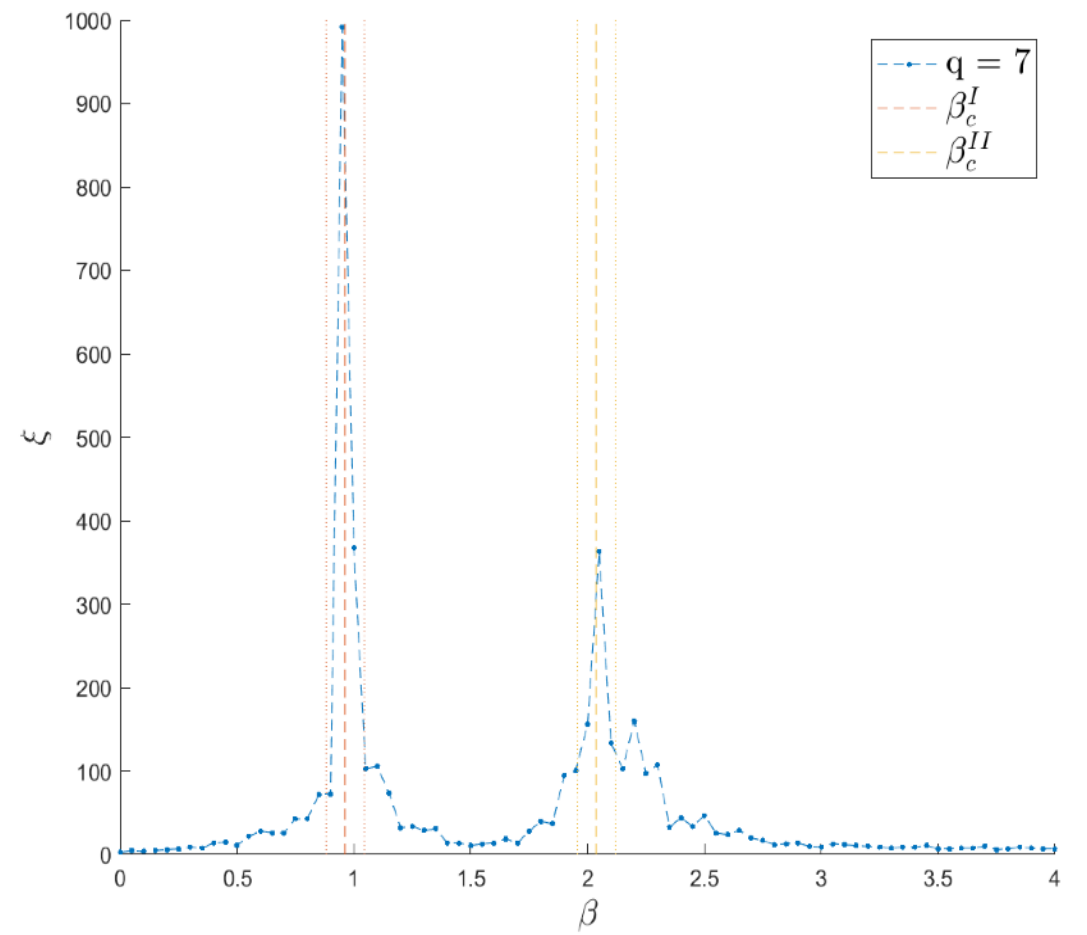
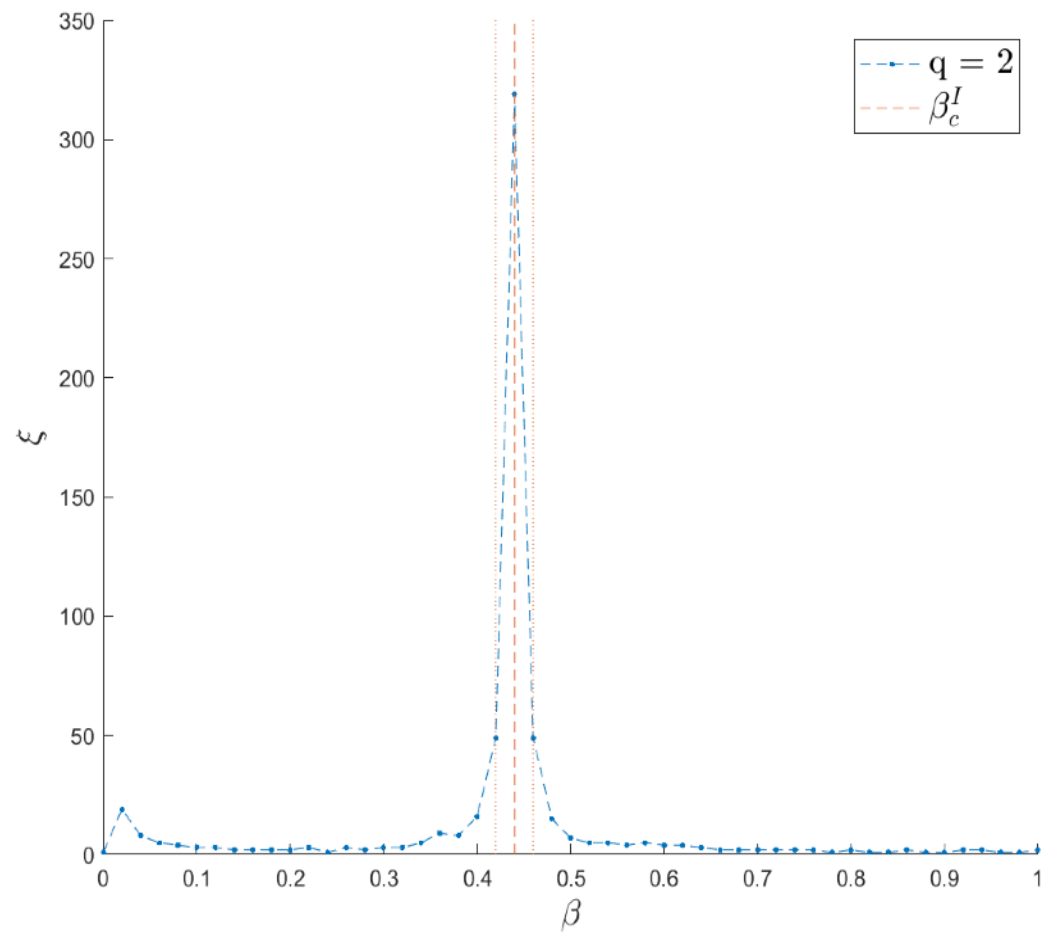
# Autocorrelazione

Si dimostra, inoltre, che la covarianza così calcolata va a 0 esponenzialmente. Per questo motivo è possibile normalizzarla per trovare una funzione esponenziale di cui fare un fit dei parametri:

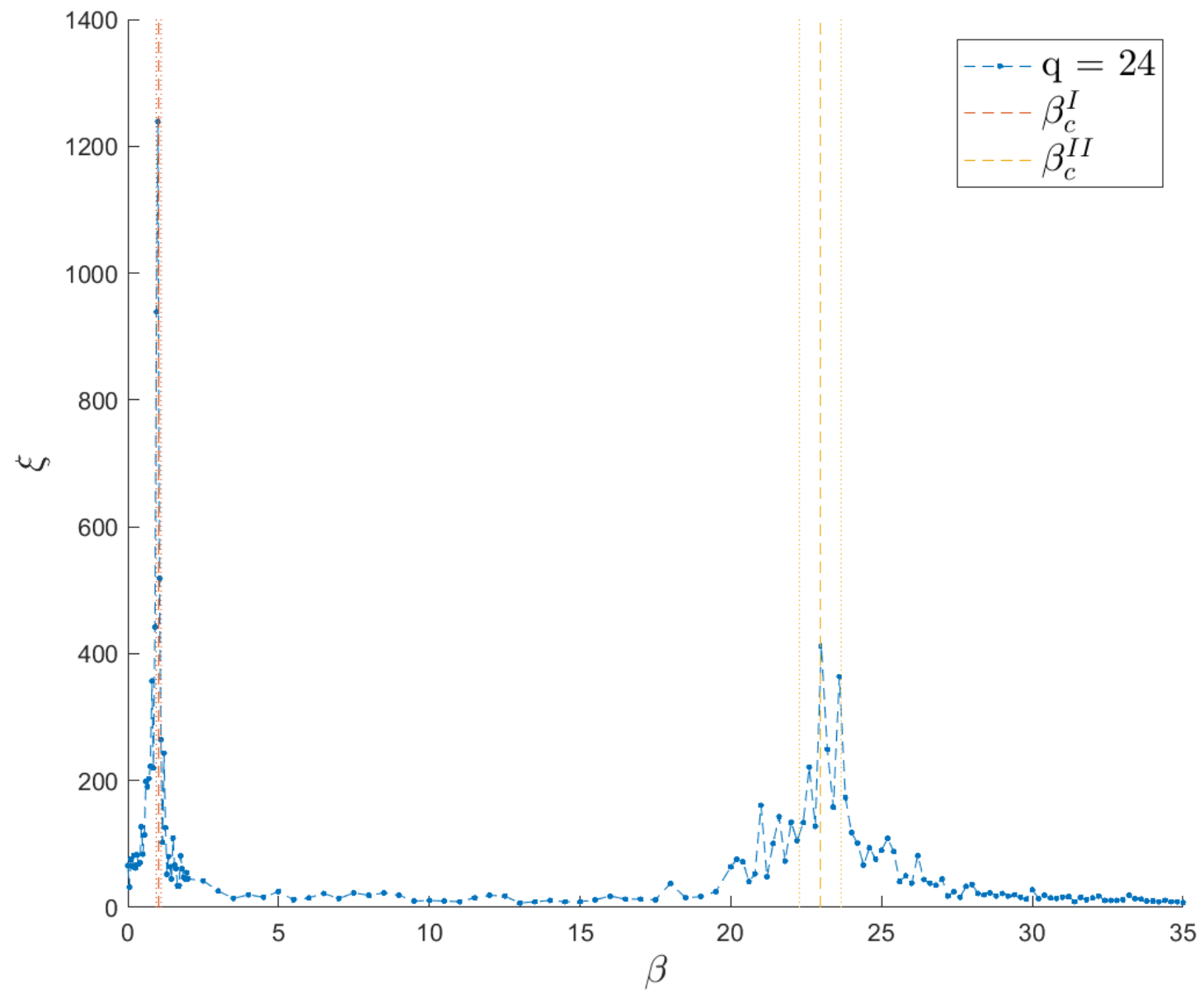
$$\eta = \frac{\text{cov}(f_t, f_{t+\tau})}{\text{cov}(f_t, f_{t+0})} = e^{-\frac{\tau}{\xi}}$$

Dove  $\xi$  è la lunghezza di autocorrelazione.

Ai valori critici di  $\beta$  si osserva un *critical slowing down*, ovvero l'aumento di  $\xi$ .







# Energia media

Sostituendo l'energia istantanea del sistema all'Hamiltoniana, fissati  $B$  e  $\beta$ , ed effettuando  $k$  – misure si ottiene un'energia media:

$$U = \langle E \rangle = \frac{1}{k} \sum_{t=1}^k E(t)$$

Siccome  $U$  è una grandezza estensiva, si definisce un' *energia indipendente dalle dimensioni del reticolo  $\varepsilon$*  dividendo  $U$  per  $N$ :

$$\varepsilon := \frac{U}{N}$$

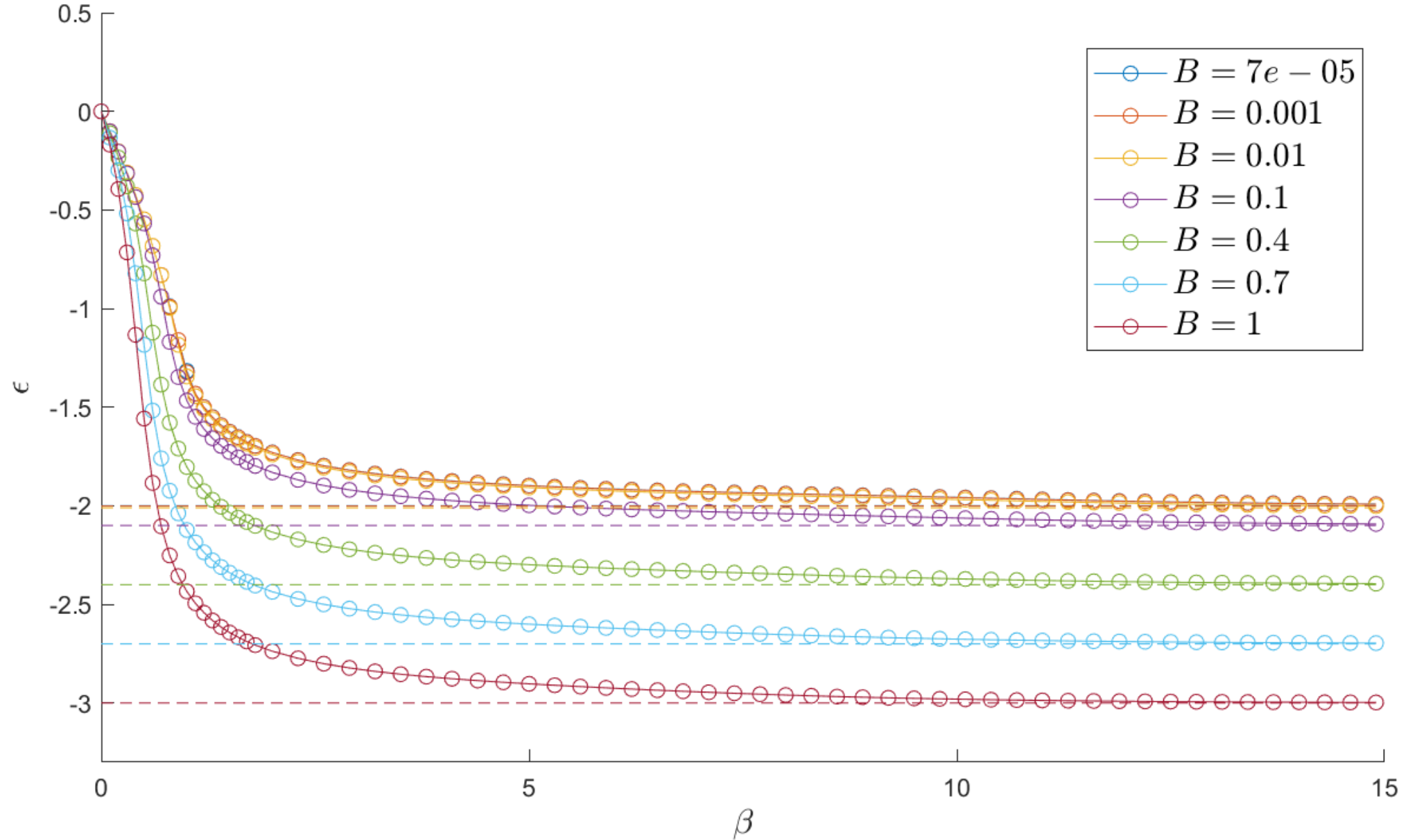
Così facendo ci aspettiamo due andamenti asintotici:

$$\diamond \beta \rightarrow 0 \Rightarrow \varepsilon \rightarrow 0$$

$$\diamond \beta \rightarrow \infty \Rightarrow \varepsilon \rightarrow -2J\mu^2 - B\mu$$



# Energia per particella $\epsilon$ al variare di $B$



# Calore specifico

Calcolata l'energia media estensiva ( $U$ ) e per particella ( $\epsilon$ ), si definisce la *capacità termica  $C$* :

$$C = \left[ \frac{\partial U}{\partial T} \right]_V = -\beta^2 \left[ \frac{\partial U}{\partial \beta} \right]_V$$

Per il *calore specifico  $c$* , definito come  $c := C/4N^2$ , si dimostra che:

$$C = \beta^2 \text{var}(E) \implies c = 4N^2 \beta^2 \text{var}(\epsilon)$$

con cui è possibile stimare numericamente il calore specifico attraverso i dati raccolti e in particolare i suoi massimi.

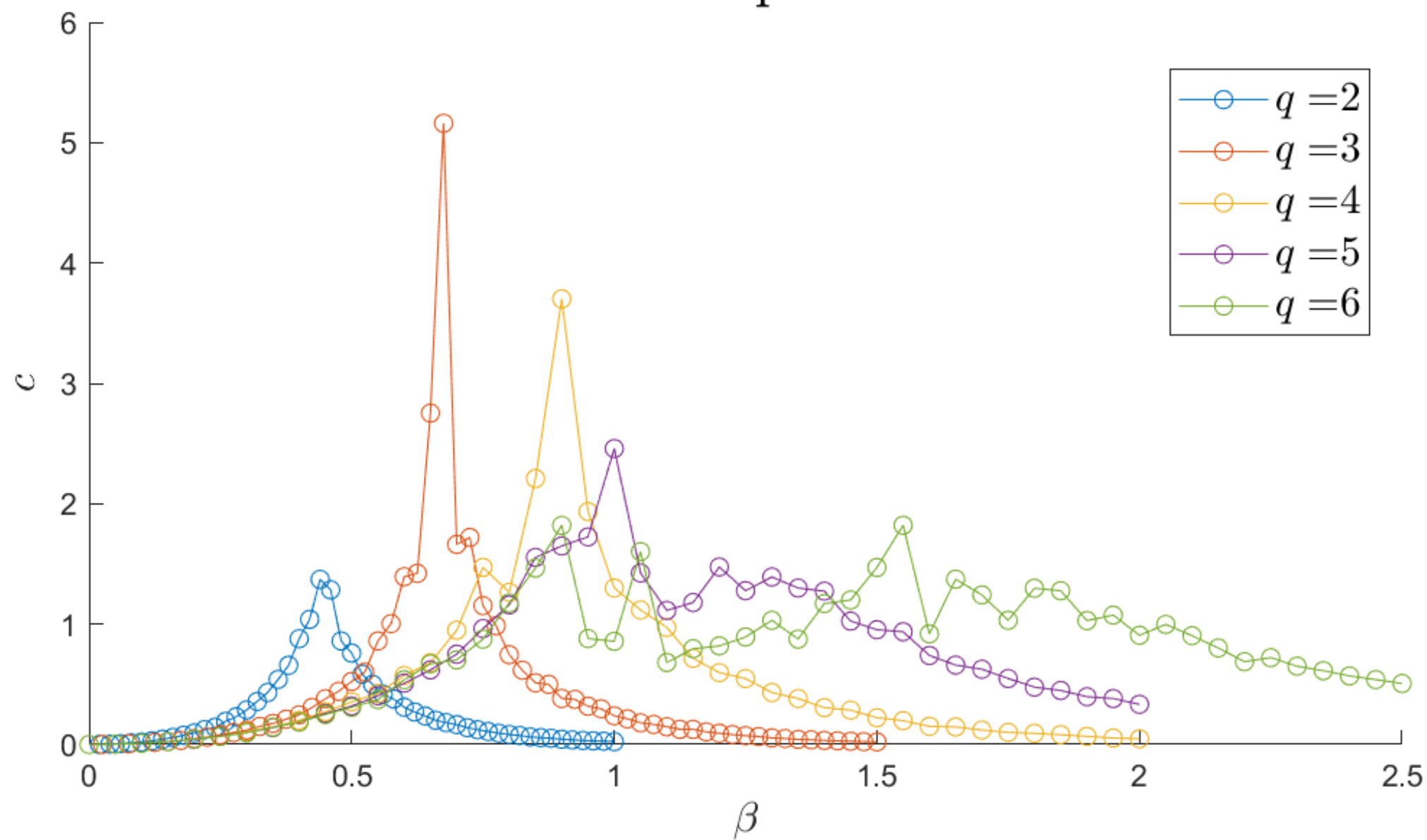
Anche per  $c$  ci aspettiamo particolari comportamenti in alcuni *limiti*:

$$\diamond \beta \rightarrow 0, \beta \rightarrow \infty \implies c \rightarrow 0$$

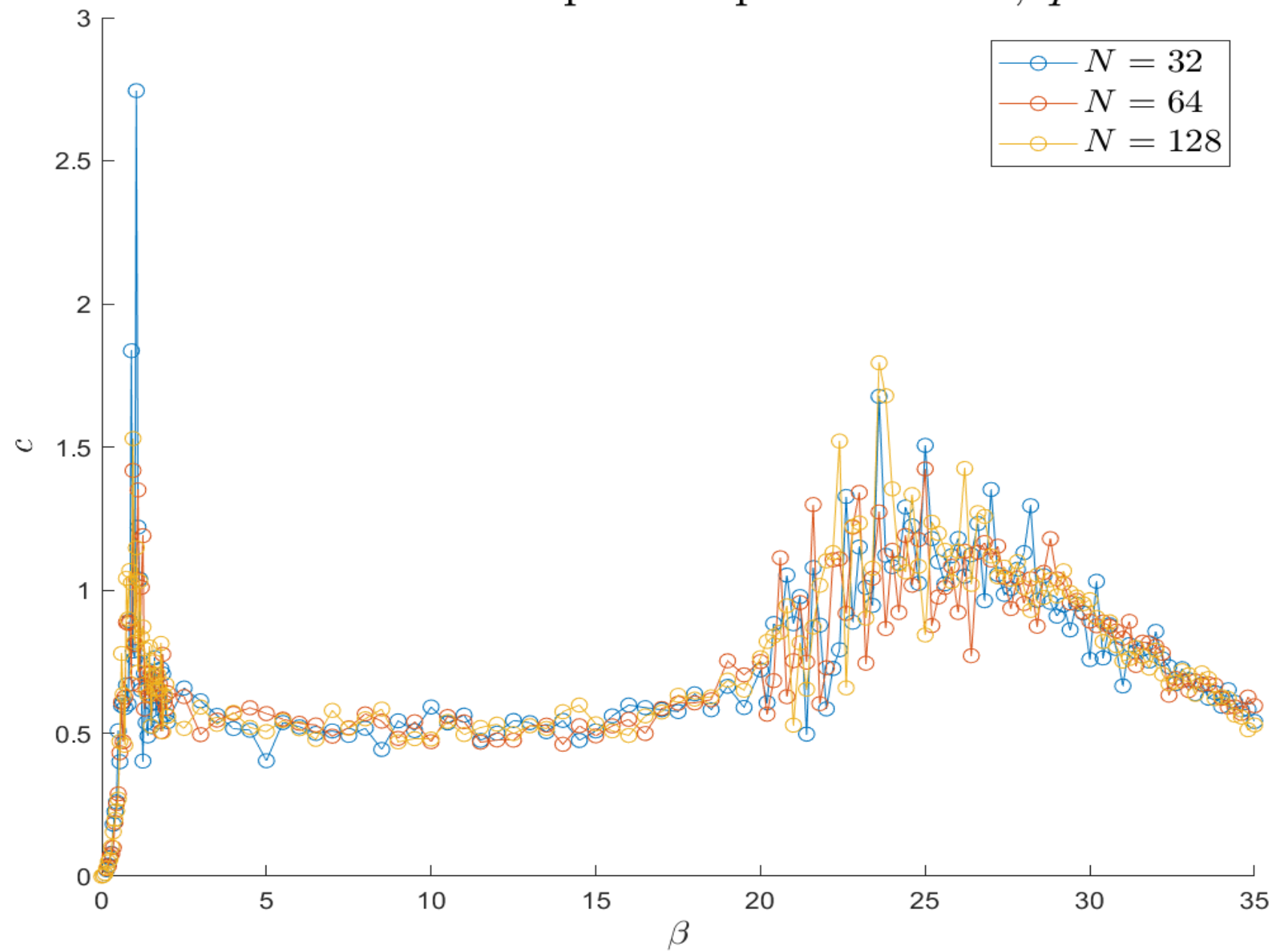
$$\diamond \beta \rightarrow \beta_c \implies c \gg 0$$



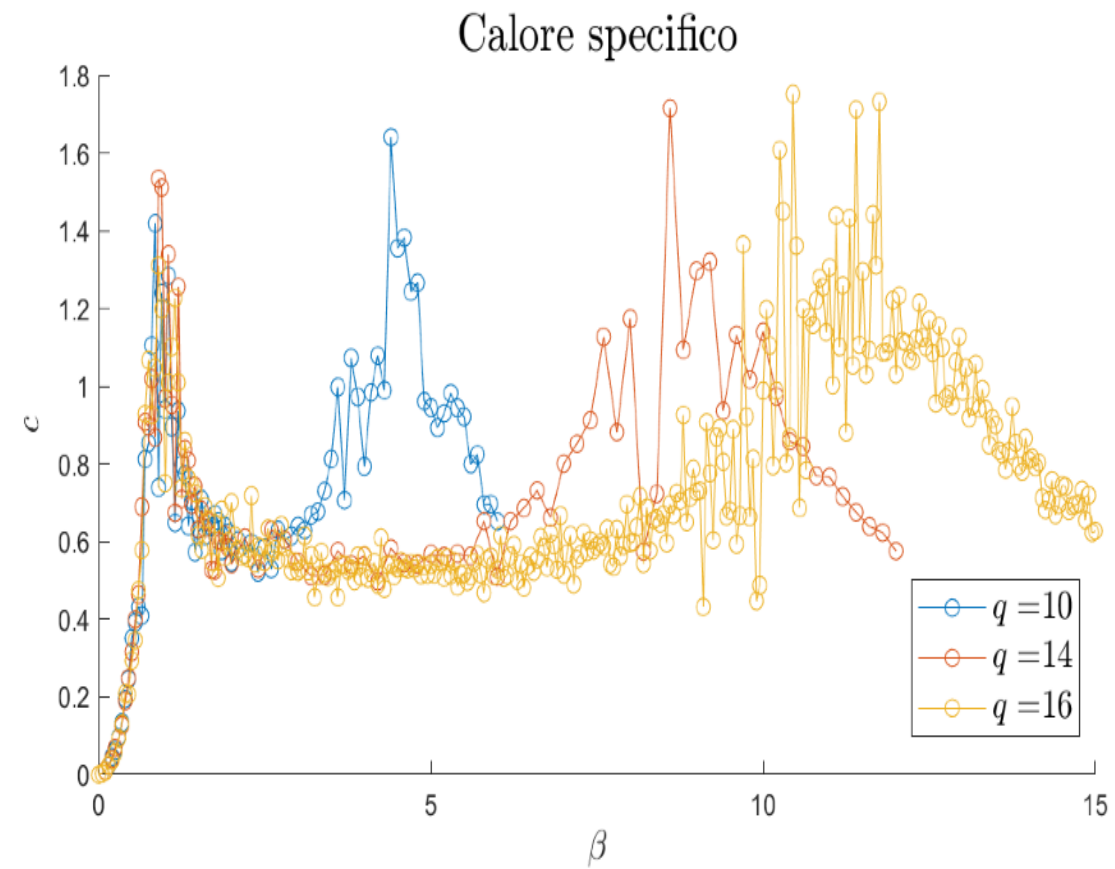
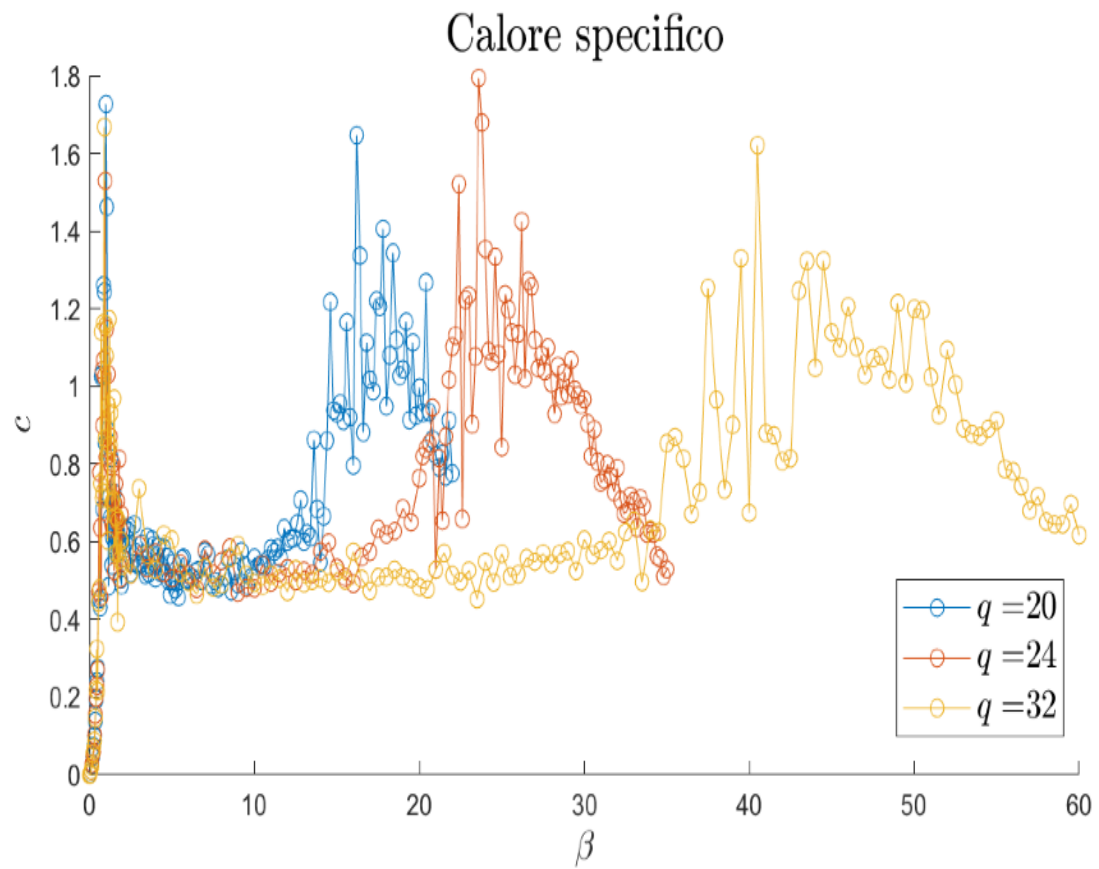
# Calore specifico



Confronto calore specifico per diversi  $N$ ,  $q = 24$







# Magnetizzazione media

Per via della simmetria  $Z_q$ , conviene considerare la media circolare dei dati di magnetizzazione, considerando la magnetizzazione all'istante  $t$  :

$$M(t) = \left( \sum_{i,j} \cos(\theta_{i,j}), \sum_{i,j} \sin(\theta_{i,j}) \right) = (M_x(t), M_y(t))$$

E mediando su  $k$  - misure, si definiscono :

$$M = \frac{1}{k} \sum_t \|M(t)\| \quad \text{et} \quad m = \frac{M}{4N^2}$$

Dove  $m$  è una *magnetizzazione indipendente dalle dimensioni del reticolo* e  $M$  è la *magnetizzazione media*



# Magnetizzazione media

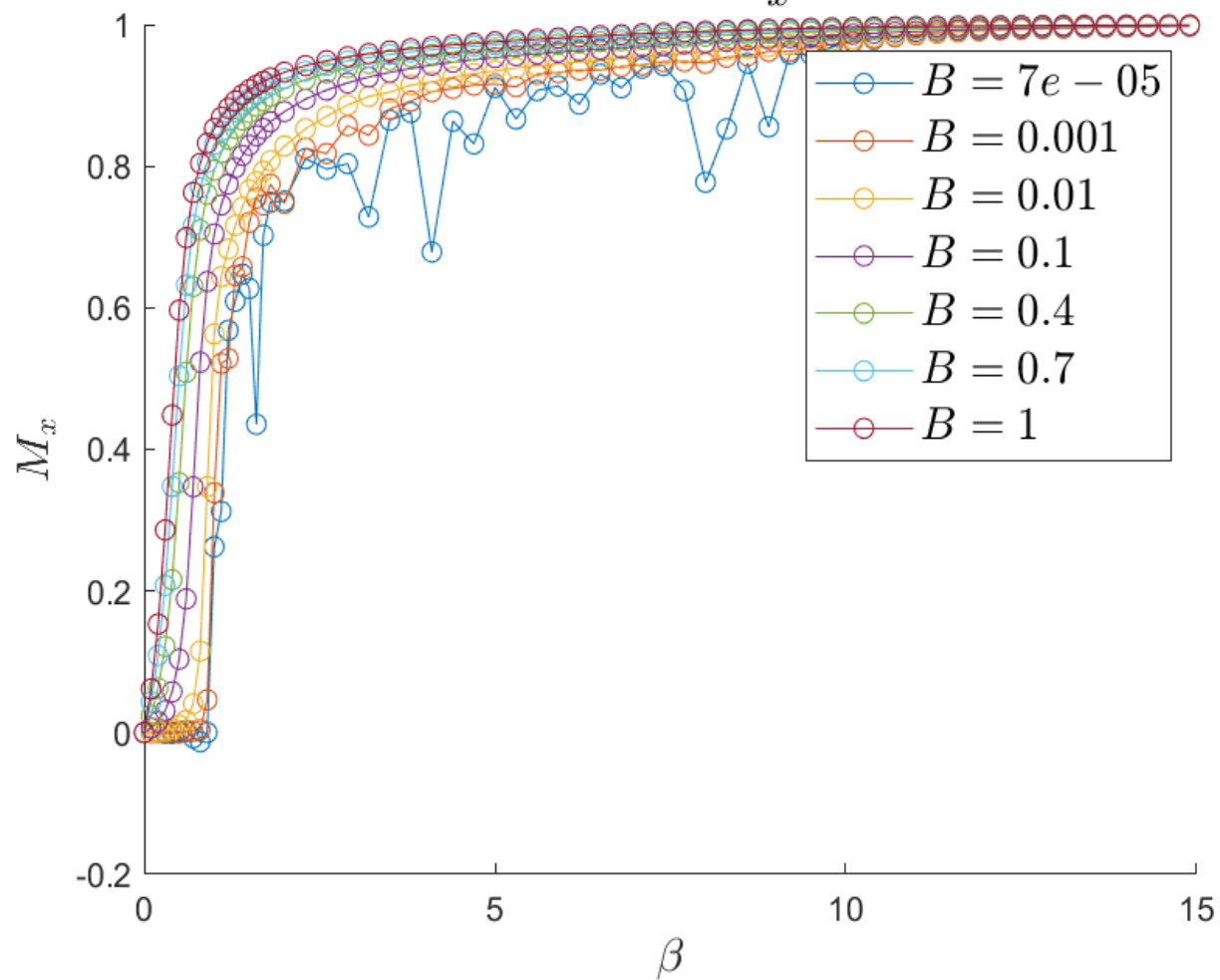
Nella nostra sperimentazione, è sempre stato fissato un campo magnetico esterno  $B$  lungo un **asse preferenziale** che indichiamo con  $x$ .

Per questo motivo, lo studio di magnetizzazione media fatto non è stato su  $\|M(t)\|$ , bensì sulle componenti, tra loro ortogonali:

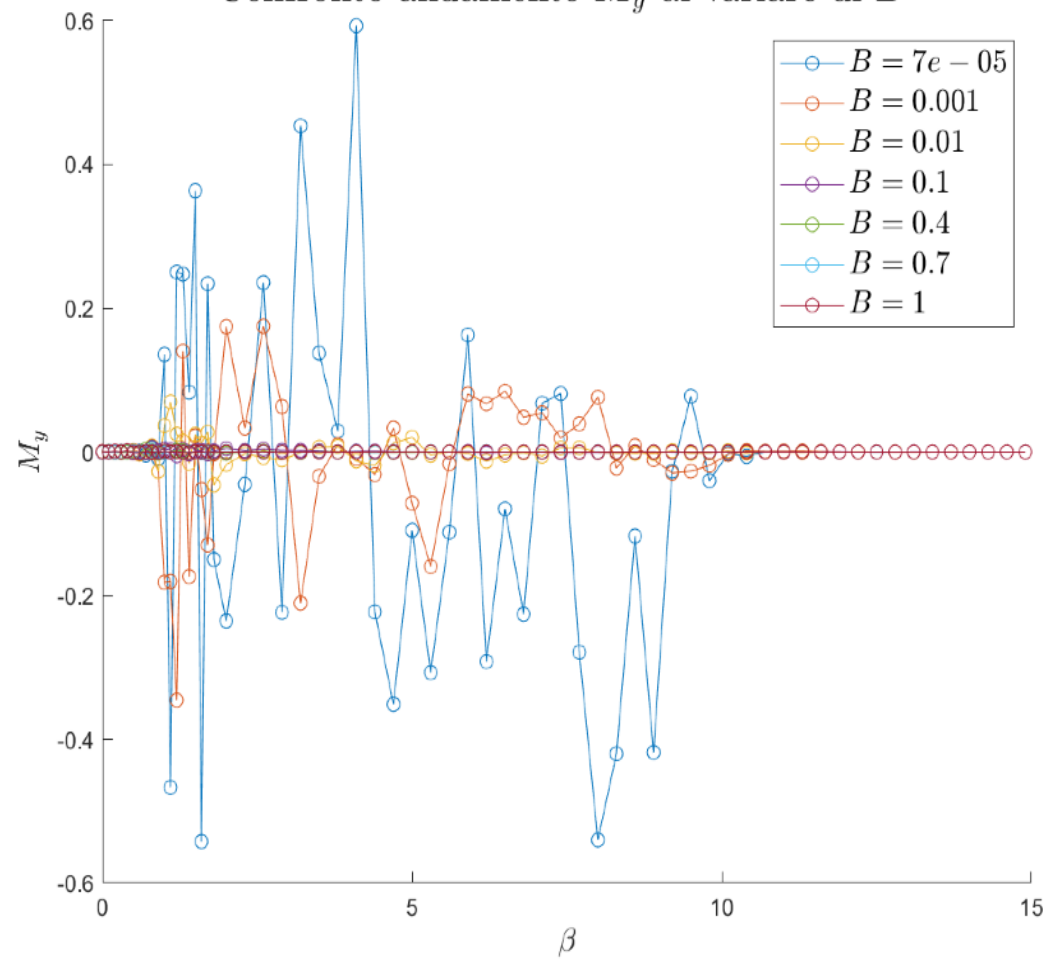
$$M_x = \frac{1}{k} \sum_t^k M_x(t) \quad et \quad M_y = \frac{1}{k} \sum_t^k M_y(t)$$

Da cui, analogamente ad  $M$ , si definiscono  **$m_x$**  ed  **$m_y$**

Confronto andamento  $M_x$  al variare di  $B$

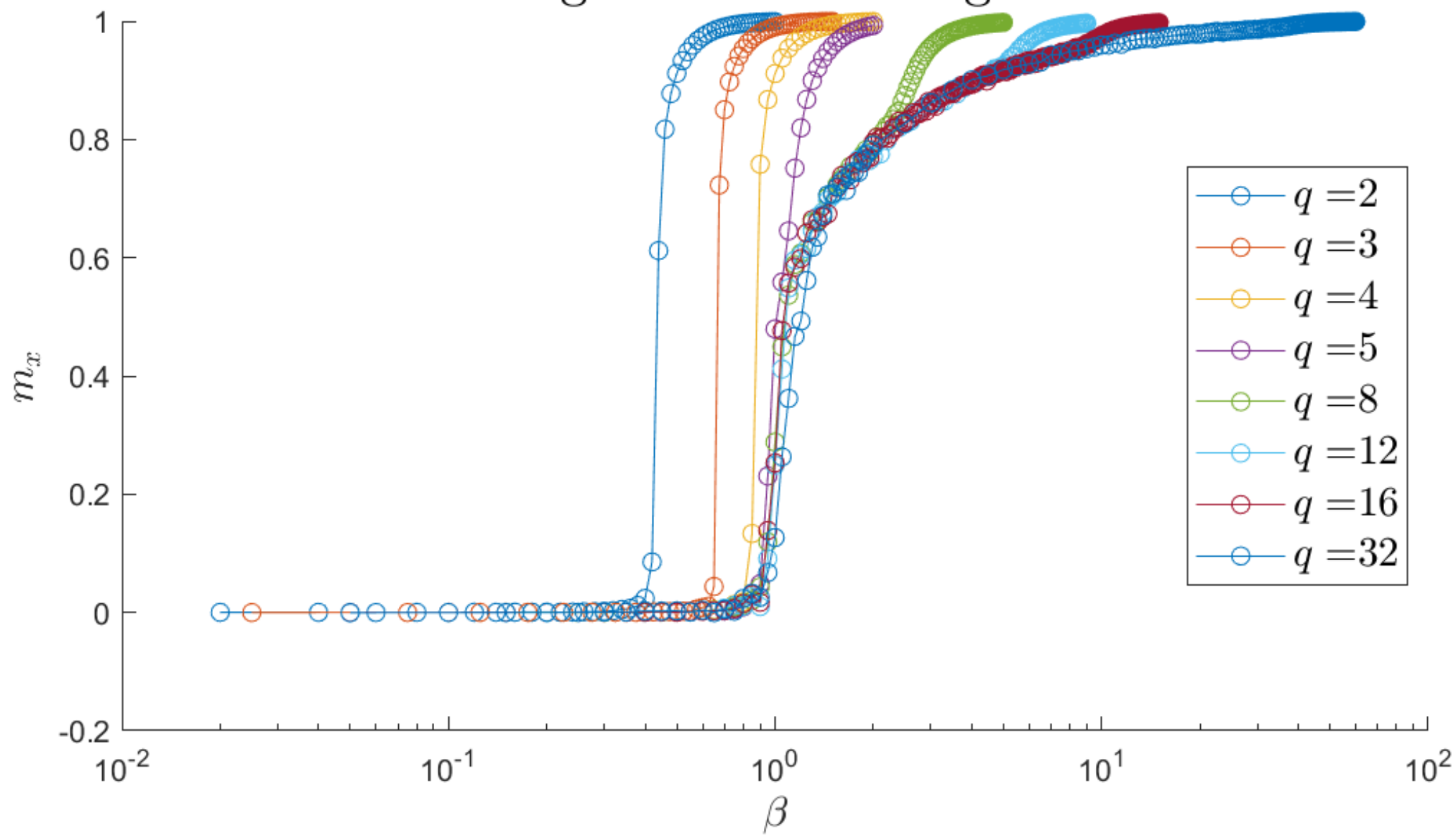


Confronto andamento  $M_y$  al variare di  $B$





# Magnetizzazione lungo $x$



# Suscettività magnetica

Dalle misure di magnetizzazione media, è possibile calcolare la suscettività magnetica  $\chi$  :

$$\chi = \lim_{B \rightarrow 0} \frac{\partial m}{\partial B}$$

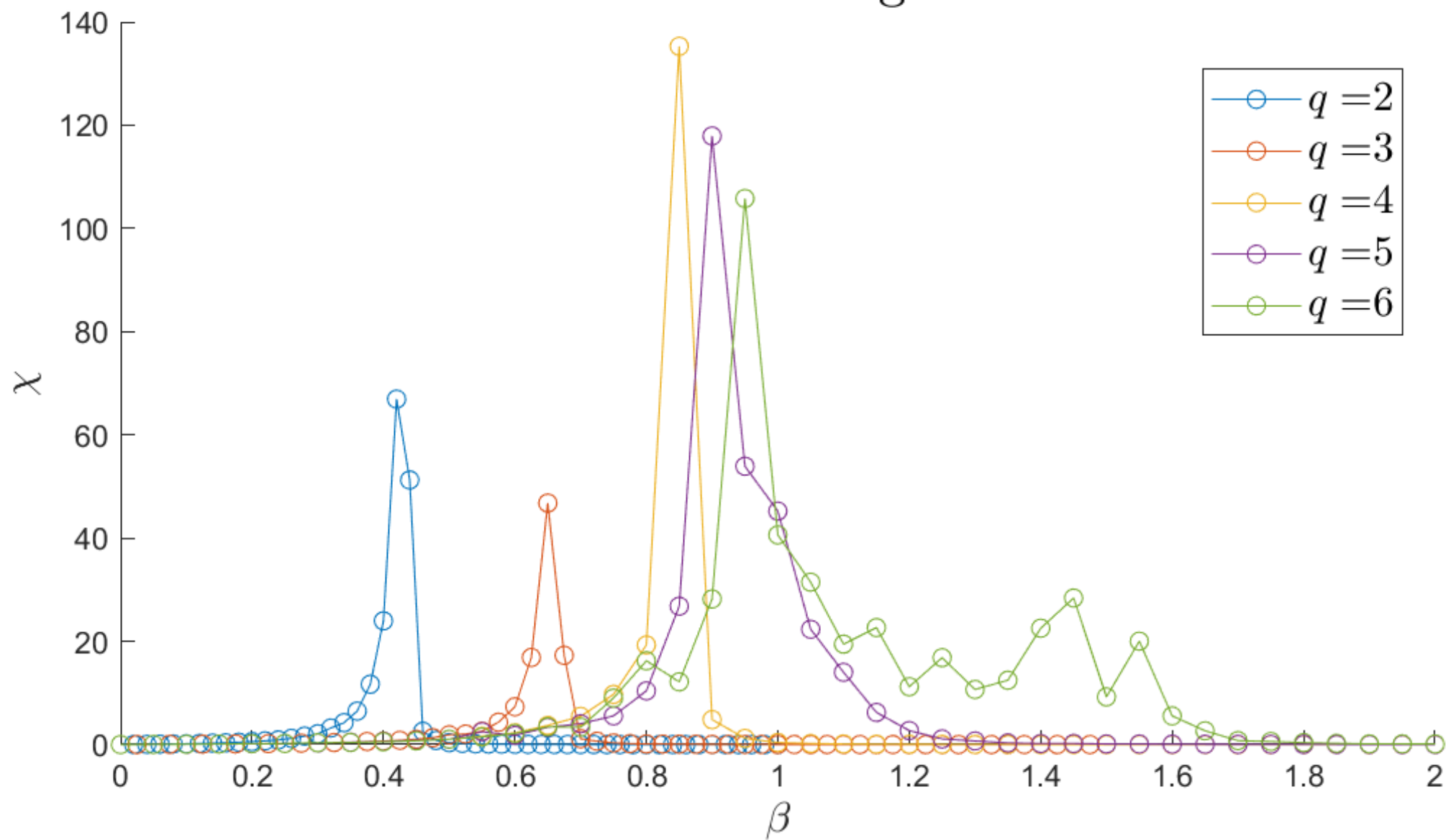
Da considerazioni di tipo statistico si trova che :

$$\chi = 4N^2\beta \lim_{B \rightarrow 0} \text{var}(m_x)$$

Dove  $m_x$  è la media della componente della magnetizzazione sull'asse del campo B esterno.



# Suscettività magnetica



# Entropia

Grazie alla stima del calore specifico, è immediato stimare un valore dell'**entropia per particella,  $s$**  :

$$\Delta s = s(T) - s(0) = \int_0^T \frac{c(T)}{T} dT = \int_{1/T}^{\infty} \frac{c(\beta)}{\beta} d\beta$$

Si osserva che  $s(0) = 0$  se il reticolo è soggetto a un campo B.

Si trova che, in generale, vale la seguente relazione, che tiene conto della degenerazione  $q$  del livello energetico fondamentale :

$$s(T) = \delta_{B,0} \frac{\log(q)}{4N^2} + \int_{1/T}^{\infty} \frac{c(\beta)}{\beta} d\beta$$

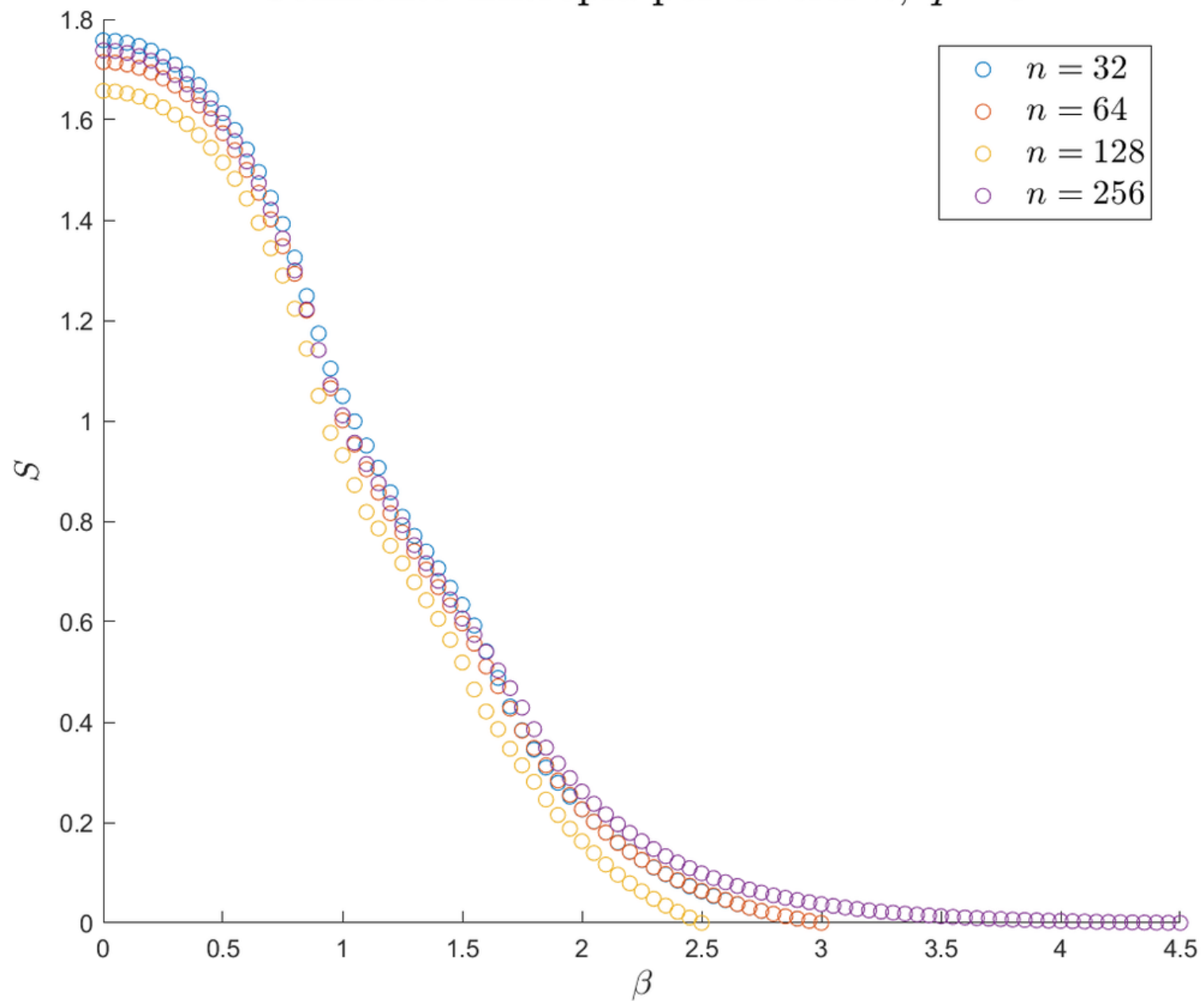
Inoltre si individuano anche per l'entropia comportamenti asintotici a 0 e  $\infty$ :

$$\diamond \beta \rightarrow 0 \implies s \rightarrow \log(q)$$

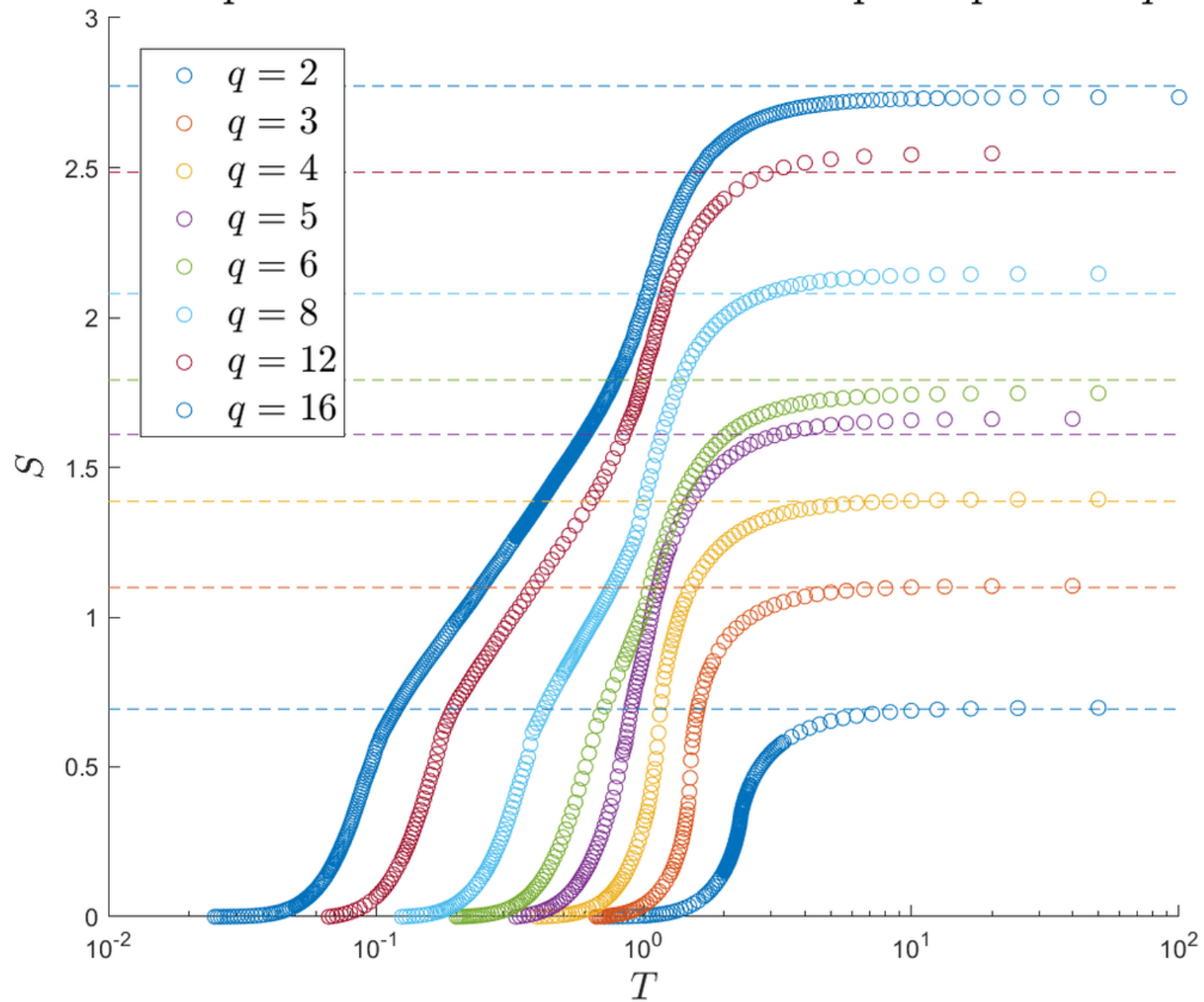
$$\diamond \beta \rightarrow \infty \implies s \rightarrow 0$$



Confronto Entropia per diversi  $n$ ,  $q = 6$



Comportamento asintotico dell'Entropia  $S$  per vari  $q$





# Temperature critiche

Come precedentemente detto, si possono individuare valori critici di temperatura, e quindi anche di  $\beta$ .

Per ogni grafico è stato, quindi, possibile raccogliere valori critici di  $\beta$  :  $\beta_c^I$  e  $\beta_c^{II}$ , da cui sono stati ricavati valori medi per osservare il loro andamento su grafico.

Si è osservato che, per  $q \geq 5$ , si osservano **due valori critici**; al contrario, per  $q < 5$ , se ne osserva uno **unico**, costante rispetto a  $q$  che definiamo essere  $\beta_c^I$ .

Si è osservato, inoltre, un andamento di  $\beta_c^{II}$  al variare di  $q$  determinato dalla relazione :

$$\beta_c^{II} = \frac{\gamma}{1 - \cos\left(\frac{2\pi}{q}\right)} \approx \frac{\gamma}{2\pi^2} q^2$$

Con  $\gamma \approx 0.88$

Andamento quadratico  $\beta_c^{II}$

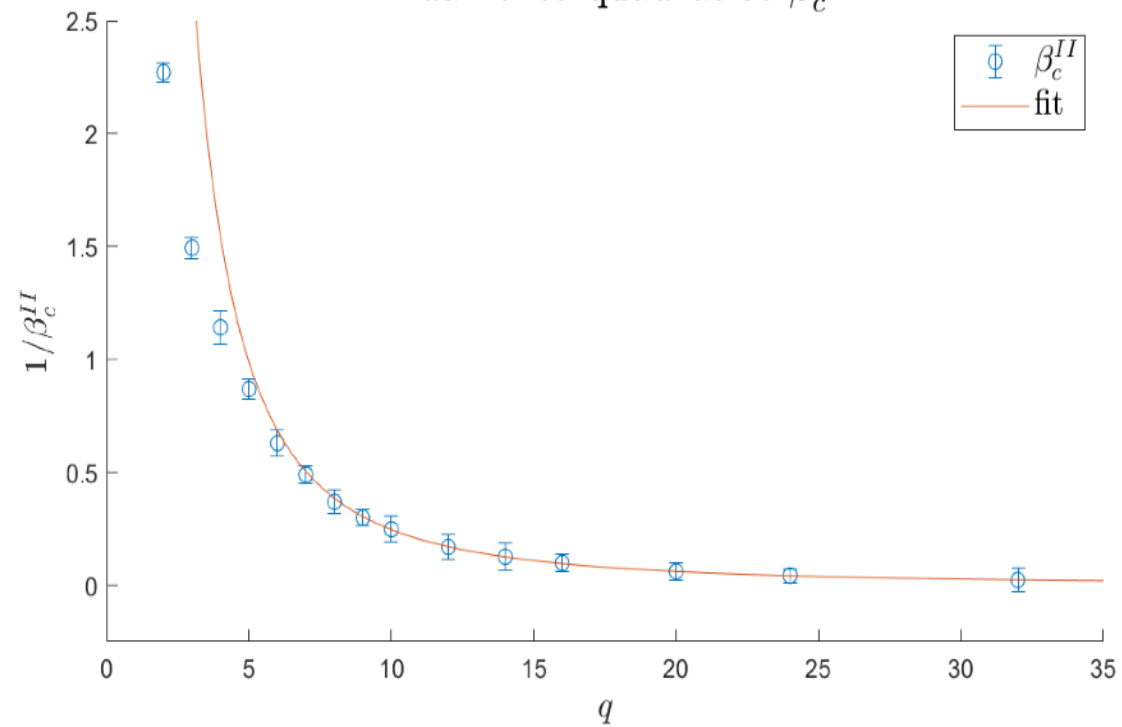
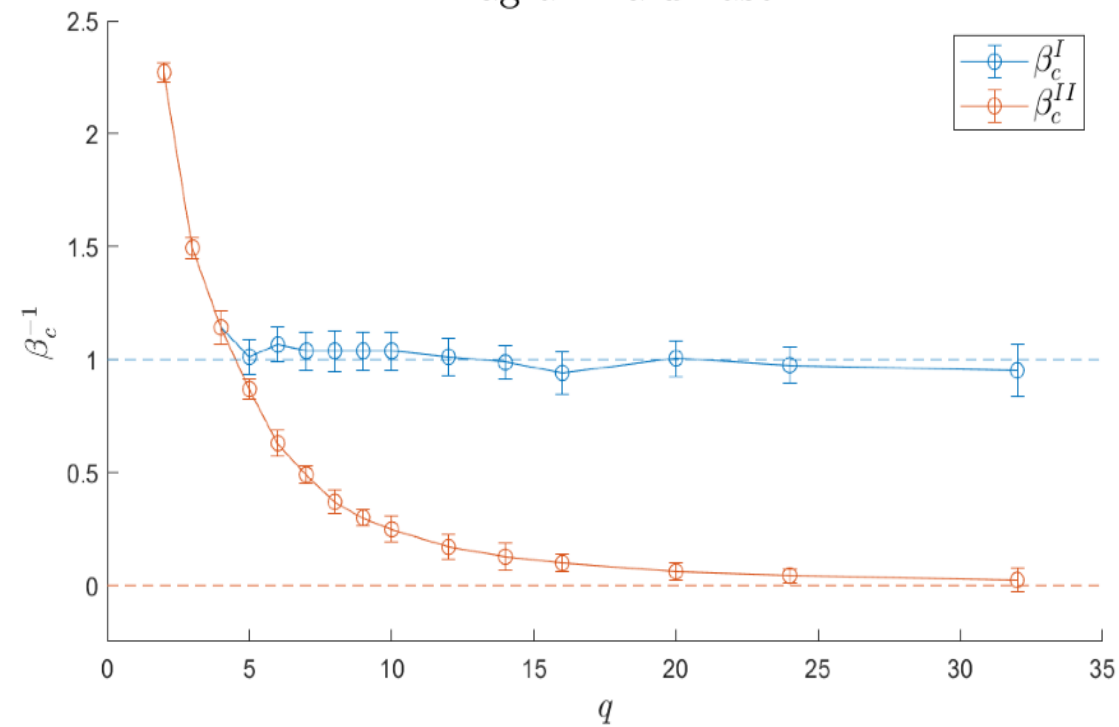


Diagramma di fase

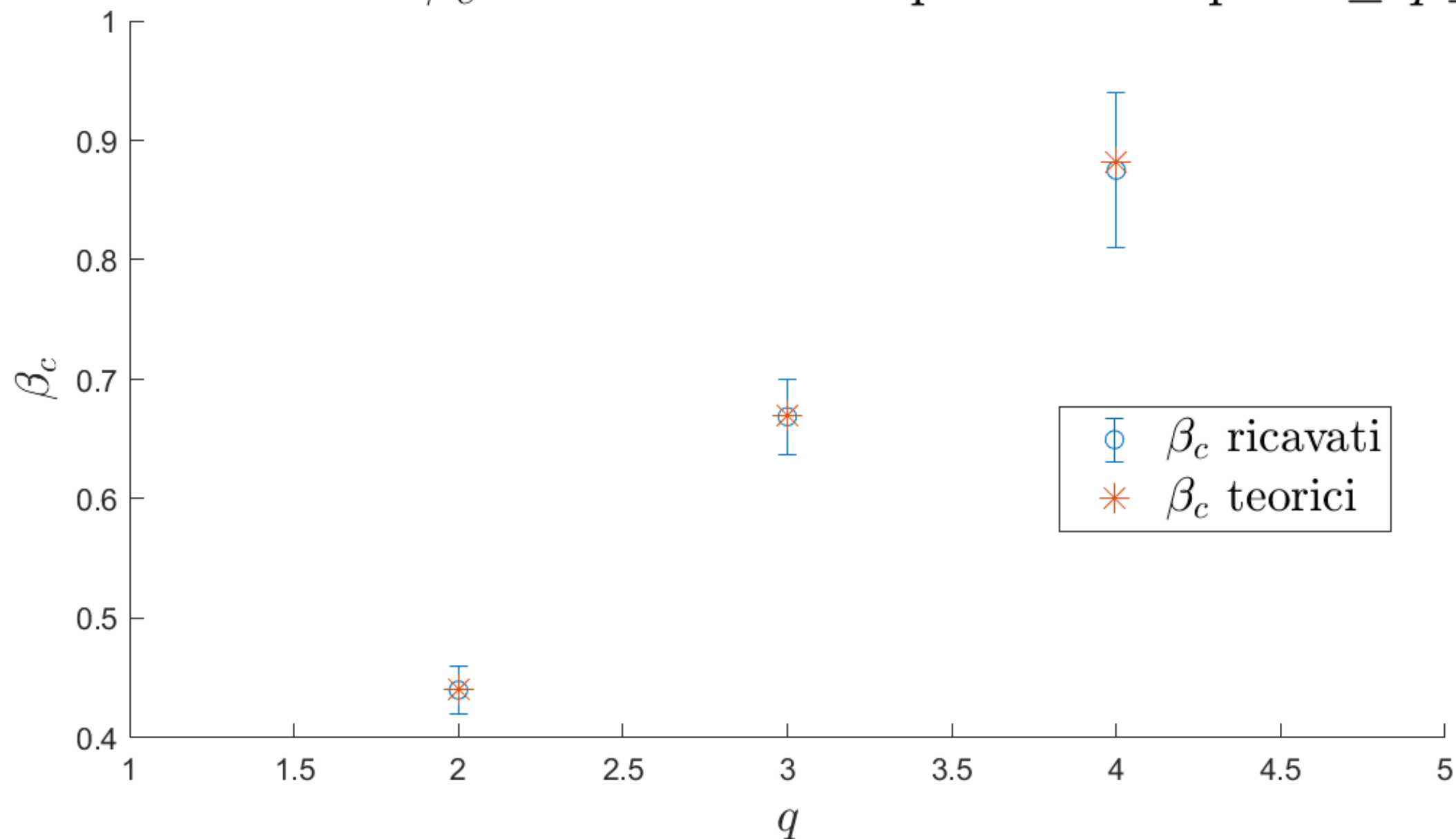




$q$	2	3	4
$\beta_c^{teo}$	$\frac{\log 1+\sqrt{2}}{2} \approx 0.4407$	$2\frac{\log 1+\sqrt{3}}{3} \approx 0.6700$	$\log 1 + \sqrt{2} \approx 0.8814$
$\beta_c^{exp}$	$0.44 \pm 0.02$	$0.67 \pm 0.03$	$0.88 \pm 0.06$

È possibile ricavare analiticamente i valori di  $\beta_c^I$  e confrontarli con quelli trovati attraverso le nostre simulazioni.

Confronto tra i  $\beta_c$  da noi ricavati e quelli teorici per  $2 \leq q \leq 4$





# Bibliografia

- ◆ [1] F. C. Alcaraz e Laurence Jacobs. «Z(N) generalisation of the Baxter-Wu model». In: Journal of Physics A15 (1982)
- ◆ [2] Oscar A. Negrete et al. «Entropy and Mutability for the q-State Clock Model in Small Systems». In: Entropy 20.12 (2018). issn: 1099-4300. DOI: 10.3390/e20120933.  
URL: <https://www.mdpi.com/1099-4300/20/12/933>
- ◆ [3] E. Onofri. «Metodi probabilistici della fisica». 2021. URL: <https://www.eoinfnpr.it>